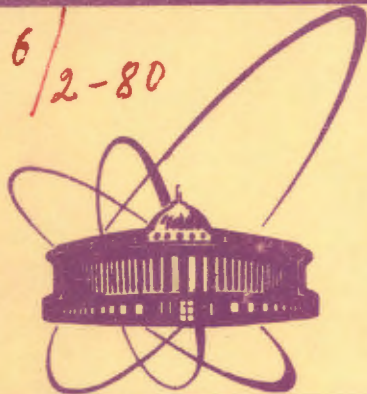


446/2-80



сообщения  
объединенного  
института  
ядерных  
исследований  
дубна

4/2-80  
P17 - 12801

Г.Конвент, Н.М.Плакида

МЯГКИЕ ФОНОНЫ  
И МАГНИТНЫЕ ФАЗОВЫЕ ПЕРЕХОДЫ

1979

Конвент Г., Плакида Н.М.

P17 - 12801

### Мягкие фононы и магнитные фазовые переходы

Обсуждается взаимосвязь структурных и магнитных фазовых переходов, обусловленная взаимодействием мягких фононов со спиновой подсистемой. На основе модельного гамильтониана получены уравнения для параметров порядка структурного и магнитного фазовых переходов. Рассмотрена возможность магнитных переходов типа легкая ось - легкая плоскость, индуцированных структурным переходом, и появление слабого ферромагнетизма, наблюдаемого в  $\text{KMnF}_3$ .

Работа выполнена в Лаборатории теоретической физики ОИЯИ.

Сообщение Объединенного института ядерных исследований. Дубна 1978

Konwent H., Plakida N.M.

P17 - 12801

### Soft Phonons and Magnetic Phase Transitions

A correlation between the structural and magnetic phase transitions due to the interaction of soft phonons with magnetic subsystem is discussed. On the basis of a model Hamiltonian equations for the order parameters of structural and magnetic phase transitions are derived. The possibility of magnetic transitions of the type easy axis-easy plane induced by the structural transition and the appearance of a weak ferromagnetism observed in  $\text{KMnF}_3$  is considered.

The investigations has been performed at the Laboratory of Theoretical Physics, JINR.

Communication of the Joint Institute for Nuclear Research. Dubna 1979

## 1. ВВЕДЕНИЕ

В последнее время большое внимание привлекает исследование магнитных кристаллов, обладающих структурными превращениями. Среди них известны кристаллы, в которых наблюдается взаимная корреляция структурных и магнитных переходов /сегнето-магнетики<sup>1/</sup>, ян-теллеровские кристаллы<sup>2/</sup>, ферро- и анти-ферромагнетики с последовательностью структурных переходов, например,  $\text{KMnF}_3$ <sup>3/</sup>. Эта корреляция может быть объяснена как эффект взаимодействия мягкой моды, описывающей структурный переход со спиновой подсистемой. Теоретические исследования в этом направлении имеют в основном феноменологический /напр.,<sup>4/</sup> или модельный /напр.,<sup>5/</sup> характер. В то же время существует теория структурных фазовых переходов, основанная на концепции локальных нормальных координат<sup>6/</sup>, которая удовлетворительно описывает динамику решетки, и теория спин-фононного взаимодействия в сильно-ангармонических кристаллах<sup>7/</sup>, в том числе испытывающих структурный переход.

Объединив эти два подхода, в настоящей работе мы предлагаем микроскопическую теорию для описания структурных и магнитных фазовых переходов с самосогласованным учетом их взаимного влияния. Стрикционное взаимодействие /взаимодействие с акустическими фононами/, играющее важную роль в определении характера магнитного и структурного фазовых переходов, в работе не рассматривается, хотя также может быть учтено в предложенной теории.

В следующем разделе вводится модельный гамильтониан для системы, обладающей структурным и магнитным фазовыми переходами. В разделе 3 на его основе рассмотрены одноосные ферро- и антиферромагнетики. В разделе 4 обсуждается переход антиферромагнетик - слабый ферромагнетик, индуцированный структурным переходом, и предложено качественное объяснение подобного перехода в  $\text{KMnF}_3$ .

## 2. ВЗАИМОДЕЙСТВИЕ СПИНОВ С МЯГКИМИ ФОНОНАМИ

Рассматривая диэлектрический кристалл с магнитными атомами, будем предполагать, что потенциальная энергия решетки, обменное взаимодействие и параметры кристаллического поля зависят от мгновенных положений атомов. Представляя эти функции в виде разложения по смещениям атомов относительно некоторых равновесных положений, получим гамильтониан магнитного ангармонического кристалла со спин-фононным взаимодействием / см. /1/. Учитывая далее только наиболее важные для структурного перехода мягкие фононы, гамильтониан кристалла можем записать в модельном виде:

$$H = H_L + H_S + H_{LS} \quad /1/$$

$$H_L = \frac{1}{2} \sum_{\lambda \lambda'} P_\lambda(l) \theta_{\lambda \lambda'}^{-1}(l, l') P_{\lambda'}(l') + \frac{1}{2} \sum_{\lambda \lambda'} v_{\lambda \lambda'}(l, l') Q_\lambda(l) Q_{\lambda'}(l') + \frac{1}{4} \sum_{\lambda_1 \lambda_2 \lambda_3 \lambda_4} \Gamma(\lambda_1 \lambda_2 \lambda_3 \lambda_4) Q_{\lambda_1}(l_1) \dots Q_{\lambda_4}(l_4), \quad /2/$$

где введены локальные нормальные координаты  $Q_\lambda(l)$  и сопряженные им импульсы  $P_\lambda(l)$  для нормальной моды  $\lambda$ , описывающие локальную дисторсию в  $l$ -той элементарной ячейке. При этом параметры  $\theta_{\lambda \lambda'}(l, l')$ ,  $v_{\lambda \lambda'}(l, l')$  и  $\Gamma(\lambda_1 \lambda_2 \lambda_3 \lambda_4)$  служат для модельного описания структурного перехода /см. /8/.

Спиновый гамильтониан запишем в общем виде

$$H_S = \sum_{\kappa \alpha} h_\kappa^{\alpha} S_{\kappa}^{\alpha} + \sum_{\kappa \alpha} K_{\kappa}^{\alpha} (S_{\kappa}^{\alpha})^2 + \sum_{\kappa \alpha} \sum_{\kappa' \beta} D_{\kappa \kappa'}^{\alpha \beta}(l, l') S_{\kappa}^{\alpha} S_{\kappa'}^{\beta} + \frac{1}{2} \sum_{\kappa \alpha} \sum_{\kappa' \alpha'} J_{\kappa \kappa'}(l, l') S_{\kappa}^{\alpha} S_{\kappa'}^{\alpha'}. \quad /3/$$

где  $S_{\kappa}^{\alpha}$  - оператор спина магнитного атома сорта  $\kappa$  в  $l$ -той элементарной ячейке,  $\alpha = x, y, z$ .  $h_{\kappa}^{\alpha} = g_{\kappa} \mu_{\kappa} H_{\alpha}$  - зеемановская энергия,  $K_{\kappa}^{\alpha}$  - параметры одноионной анизотропии,  $D_{\kappa \kappa'}^{\alpha \beta}$  и  $J_{\kappa \kappa'}$  - параметры анизотропного и изотропного обменного взаимодействия. Для простоты мы предполагаем, что кристалл не имеет кубической симметрии /например, тетрагональная структура/ и эффективный спин атома  $S_{\kappa} \geq 1$ , так что достаточно учесть только билинейные по спином членам. Зависящие от локальных нормальных координат члены в магнитной энергии кристалла приводят к спин-фононному взаимодействию:

$$H_{LS} = \sum_{\kappa \alpha} V_{\kappa}^{\alpha} (S_{\kappa}^{\alpha})^2 + \sum_{\kappa \lambda \lambda' \kappa' \alpha \beta} V_{\kappa, \lambda \lambda'}^{\alpha \beta} S_{\kappa}^{\alpha} S_{\lambda' \kappa'}^{\beta}, \quad /4/$$

где  $V_{\kappa}^{\alpha} = V_{\kappa}^{\alpha}(\{Q_{\lambda}(l)\})$ ,  $V_{\kappa, \lambda \lambda'}^{\alpha \beta} = V_{\kappa, \lambda \lambda'}^{\alpha \beta}(\{Q_{\lambda}(l), Q_{\lambda'}(l')\})$  - полиномы относительно переменных  $Q_{\lambda}(l)$ , явный вид которых определяется из условий симметрии для конкретной модели кристалла.

Гамильтониан /1-4/ имеет общий вид, удобный для описания различных структурных и магнитных фазовых переходов. Чтобы рассмотреть наиболее важные черты предложенной модели, достаточно изучить лишь некоторые частные случаи этого гамильтониана, которые приведены в последующих разделах.

## 3. ОДНООСНЫЕ ФЕРРО- И АНТИФЕРРОМАГНЕТИКИ

При структурном переходе, обусловленном неустойчивостью решетки по отношению к невырожденной мягкой оптической моде, описываемой однокомпонентной локальной нормальной координатой  $Q_l$ , гамильтониан /2/ может быть записан в простой форме:

$$H_L = \sum_l \left\{ \frac{1}{2M} P_l^2 - \frac{A}{2} Q_l^2 + \frac{B}{4} Q_l^4 \right\} + \frac{1}{4} \sum_{l l'} \phi_{ll'} (Q_l - Q_{l'})^2, \quad /5/$$

где  $M$  - эффективная масса для данной оптической моды,  $A$ ,  $B$  и  $\phi_{ll'} = \phi(l - l')$  - постоянные модели, определяющие характер структурного перехода. В случае перехода типа смещения ангармонизм мал и  $\phi_0 = \sum_{l'} \phi(l - l') \gg A$  /8/.

При описании магнитного перехода ограничимся простой моделью одноосного ферро- или антиферромагнетика с гамильтонианом:

$$H_S = \sum_{l_K} h_K S_{l_K}^z - \sum_{l_K} K_K (S_{l_K}^z)^2 + \frac{1}{2} \sum_{l_K l'_K} J_{KK'} (l - l') S_{l_K}^z S_{l'_K}^z, \quad /6/$$

где будем считать  $K_K > 0$ . В спин-фононном взаимодействии /4/ в этом случае учтем только одноионный вклад:

$$H_{SL} = \sum_{l_K} \{ a_K Q_l + \frac{1}{2} b_K Q_l^2 \} (S_{l_K}^z)^2, \quad /7/$$

который позволяет в наиболее простом виде учесть взаимное влияние магнитной и фононной подсистем друг на друга.

Рассмотрим, прежде всего, уравнение для параметра порядка при структурном переходе, который определяется средним значением локальной нормальной координаты:

$$\eta = \langle Q_l \rangle, \quad Q_l = \eta + u_l, \quad /8/$$

где

$$\langle P \rangle = \text{Tr} \{ e^{-H/T} P \} / \text{Tr} \{ e^{-H/T} \}$$

и  $H = H_L + H_S + H_{SL}$  - полный гамильтониан /5/-/7/ системы. Из условия минимума свободной энергии получаем:

$$\frac{\partial F}{\partial \eta} = -T \frac{\partial}{\partial \eta} \ln \text{Tr} \{ e^{-H/T} \} = \langle \frac{\partial H}{\partial \eta} \rangle = 0, \quad /9/$$

что с учетом /5/-/7/ дает:

$$-A + B \langle (\eta + u_l)^3 \rangle + \sum_K (a_K + b_K \eta) \langle (S_K^z)^2 \rangle = 0, \quad /10/$$

Пренебрегая малым кубическим ангармонизмом

$$\langle u_l^3 \rangle / \eta \langle u_l^2 \rangle \sim (B/T)(T/\phi_0)^2 \leq A/\phi_0 \ll 1$$

и переходя к безразмерным переменным

$$\xi = \sqrt{\frac{B}{A}} \eta, \quad y = \frac{B}{A} \langle u_l^2 \rangle, \quad /11/$$

$$\bar{a} = \frac{1}{A} \sqrt{\frac{B}{A}} \sum_K a_K \langle (S_K^z)^2 \rangle, \quad \bar{b} = \frac{1}{A} \sum_K b_K \langle (S_K^z)^2 \rangle,$$

получаем уравнение для параметра порядка:

$$\xi^3 = (1 - \bar{b} - 3y)\xi - \bar{a}. \quad /12/$$

Как видно, в случае  $\bar{a} \neq 0$  всегда имеется ненулевое решение,  $\xi \neq 0$ . - ситуация аналогична поведению системы во внешнем поле величиной  $a\xi$ . Однако в случае  $\bar{a} \ll 1$  существует область температур  $T > T_0$ , где  $\xi \ll 1$ , в то время как при  $T < T_0$   $\xi \sim 1$ , так что  $T_0$  можно рассматривать как температуру структурного перехода. Для ее вычисления и определения температурной зависимости  $\xi(T)$  необходимо рассмотреть динамику решетки этой модели.

Вводя функцию Грина от операторов смещений  $D_{ll'}(t-t') = \langle \langle u_l(t); u_{l'}(t') \rangle \rangle$  и пользуясь стандартной процедурой составления цепочки уравнений, описанной для спин-фононных систем в /7/, получаем:

$$D_{ll'}(\omega) = \frac{1}{NA} \sum_q e^{iq(\vec{l}-\vec{l}')} \frac{1}{\nu^2 - (\Delta + f_0 - f_q)}, \quad /13/$$

где  $\nu^2 = \omega^2 / (AM)$ ,  $f_q = \phi(q)/A = (1/A) \sum_{l'} \phi(l-l') e^{-iq \cdot (\vec{l}-\vec{l}')}$ .

Щель в спектре мягкой оптической моды  $\Delta$  определяется уравнением:

$$\Delta = 3(\xi^2 + y) - (1 - \bar{b}). \quad /14/$$

Последнее выражение было получено в низшем порядке самосогласованного фононного поля /см. /7.8//. Корреляционная функция смещений  $y$  в /12/ определяется уравнением:

$$y = \frac{B}{A} \int_0^\infty d\omega \text{cth} \frac{\omega}{2T} \left[ -\frac{1}{\pi} \text{Im} D_{ll}(\omega + i\epsilon) \right] = \frac{B}{A} \frac{1}{NM} \sum_q \frac{1}{2\omega_q} \text{cth} \frac{\omega_q}{2T}, \quad /15/$$

где  $\omega_q^2 = (A/M)(\Delta + f_0 - f_q)$ . Решение самосогласованной системы уравнений /12/, /14/, /15/ позволяет определить температурную зависимость  $\xi(T)$ ,  $\Delta(T)$  и найти температуру  $T_0$ , соответствующую структурному переходу.

Для оценки констант спин-фононного взаимодействия  $\bar{a}$  и  $\bar{b}$  примем, что энергия кристаллического поля

$$KS^2 \sim (a\eta + \frac{1}{2}b\eta^2)S^2 - \epsilon J_0 S^2,$$

где  $\epsilon = K/J_0$  - отношение энергии анизотропии к обменной энергии  $J_0 = \sum_{\ell, \ell'} J(\ell - \ell')$ . Учитывая также, что температура

магнитного перехода  $T_c \sim J_0 S^2$ , а температура структурного перехода  $T_0 \sim \phi_0(A/B)$ /см., напр., /8/, получаем, согласно /11/, оценки:

$$\bar{a} \sim \bar{b} \sim \epsilon \frac{J_0 S^2}{A^2/B} \sim \epsilon \frac{T_c}{T_0} \frac{\phi_0}{A}. \quad /16/$$

Так как для перехода типа смещения  $\phi_0 \gg A^{3/8}$ , то константы  $\bar{a}$ ,  $\bar{b}$  могут быть малыми только для достаточно слабой анизотропии,  $\epsilon \leq 10^{-2}$ .

В этом случае при  $T > T_0$ , которая определяется уравнением

$$1 - \bar{b}(T_0) - 3\{y(T_0) + [\frac{1}{2}\bar{a}(T_0)]^{2/3}\} = 0, \quad /17/$$

значения параметра порядка малы:

$$\xi(T) < \xi(T_0) = [4\bar{a}(T_0)]^{1/3}.$$

Щель в спектре фононов  $\Delta(T)$  достигает своего минимального значения,  $\Delta_{\min}(T_1) = (3/2)[2\bar{a}(T_1)]^{2/3}$  при температуре  $T_1$ , определяемой из уравнения

$$1 - \bar{b}(T_1) - 3\{y(T_1) + [\frac{1}{2}\bar{a}(T_1)]^{2/3}\} = 0. \quad /18/$$

Можно заметить, что  $T_1 > T_0$ , но при малых значениях  $\bar{a}$ ,  $\bar{b}$  эти температуры близки к  $T_0^{(0)}$ , вычисленной без учета спин-фононного взаимодействия /см. /17/, /18// при  $\bar{a} = \bar{b} = 0$ .

Рассмотренное выше влияние магнитной подсистемы на структурный переход следует ожидать в случае  $T_c > T_0$ , когда параметры взаимодействия  $\bar{a}$ ,  $\bar{b}$  в магнитоупорядоченной фазе достаточно велики. В обратном случае,  $T_c < T_0$ , представ-

ляет интерес рассмотреть влияние структурного перехода на магнитную подсистему. Для описания магнитного фазового перехода в этом случае для системы с гамильтонианом /6/, /7/ воспользуемся приближением молекулярного поля /ПМП/, выбирая пробный гамильтониан в виде:

$$H_{SO} = \sum_{\ell_k} \{M_k S_{\ell_k}^z - \bar{K}_k (S_{\ell_k}^z)^2\}, \quad /19/$$

где намагниченность подрешеток  $M_k$  и эффективная константа анизотропии  $\bar{K}_k$  определяются на основе вариационного принципа Боголюбова /см. /7/ /:

$$\frac{\delta f}{\delta M_k} = 0, \quad \frac{\delta f}{\delta \bar{K}_k} = 0. \quad /20/$$

Пробная свободная энергия  $f$  при этом имеет вид:

$$f(T) = f_0(T) + \frac{1}{N} \langle H_S + H_{SL} - H_{SO} \rangle_0.$$

Пользуясь /6/, /7/ и /19/, получаем:

$$f(T) = f_0(T) + \frac{1}{2} \sum_{kk'} J_{kk'} \langle S_k^z \rangle \langle S_{k'}^z \rangle + \sum_k (n_k - M_k) \langle S_k^z \rangle - \sum_k (K_k - \bar{V}_k - \bar{K}_k) \langle (S_k^z)^2 \rangle, \quad /21/$$

где

$$f_0(T) = -T \sum_k \ln \Psi_{sk} \left( \frac{M_k}{T}, \frac{\bar{K}_k}{T} \right), \quad /22/$$

$$\Psi_{sk}(a, \beta) = \sum_{m=-S_k}^{S_k} \exp\{-am + \beta m^2\}, \quad /23/$$

$$J_{kk'} = \sum_{\ell'} J_{kk'}(\ell - \ell'), \quad /24/$$

$$\bar{V}_k = a_k \langle Q_{\ell} \rangle + \frac{1}{2} b_k \langle Q_{\ell}^2 \rangle. \quad /25/$$

Учет уравнений /20/-/23/ приводит к следующим выражениям для вариационных параметров:

$$M_K = h_K + \sum_{KK'} J_{KK'} \langle S_K^z \rangle, \quad /26/$$

$$\tilde{K}_K = K_K - \tilde{V}_K. \quad /27/$$

Намагниченность  $\langle S_K^z \rangle$  и средний квадрат спина  $\langle (S_K^z)^2 \rangle$  определяются выражениями

$$\langle S_K^z \rangle = \frac{\partial f_0}{\partial M_K}, \quad \langle (S_K^z)^2 \rangle = \frac{\partial f_0}{\partial \tilde{K}_K}. \quad /28/$$

Как видно, мы приходим к обычным выражениям в ПМП, где константа анизотропии  $\tilde{K}_K$  зависит от температуры через параметр порядка  $\eta = \langle Q_\ell \rangle$ , согласно /25/, /27/. В результате возникает дополнительная температурная зависимость  $\langle S_K^z \rangle$  и  $\langle (S_K^z)^2 \rangle$  и перенормировка температуры магнитного фазового перехода.

Особый интерес представляет возможность изменения знака эффективной константы анизотропии  $\tilde{K}_K(T)$ , вызванная температурной зависимостью параметра порядка  $\eta(T)$  при структурном переходе. Это может привести к перестройке всей магнитной структуры. Для ферромагнетика изменение знака константы анизотропии приводит к переходу легкая ось ( $\tilde{K}_K > 0$ ) - легкая плоскость ( $\tilde{K}_K < 0$ ). Для антиферромагнетика последний переход может сопровождаться появлением слабого ферромагнетизма, если в базисной плоскости имеется дополнительное анизотропное взаимодействие. Обсудим этот вопрос более подробно.

#### 4. СЛАБЫЙ ФЕРРОМАГНЕТИЗМ

В ряде кристаллов, испытывающих структурные переходы, наблюдается чередование магнитных фазовых переходов. Например, в кристалле  $KMnF_3$  происходит последовательно два структурных перехода при  $T_1 = 186$  К и  $T_2 = 91,5$  К, которые описываются, соответственно, конденсацией мягких фононов в точке R /мода  $\Gamma_{25}$  / и в точке M /мода  $M_3$  / зоны Бриллюэна /3/. При этом происходит поворот октаэдров  $MnF_3$  относительно общей в обоих переходах тетрагональной оси в противоположных направлениях в соседних плоскостях /мода  $\Gamma_{25}$  / или в одинаковом направлении /мода  $M_3$  /, соответственно /3/. В этом же кристалле наблюдаются два магнитных фазовых перехода: антиферромагнитный (AF) при  $T = 88,3$  К с осью AF вдоль тетрагональной оси и переход в слабый ферромагнетик (WF) в базисной плоскости при  $T_c =$

$= 81,5$  К. Близость магнитных переходов ко второму структурному переходу позволяет предположить сильное влияние структурного перехода на характер магнитного упорядочения при AF переходе. Действительно, поворот октаэдров  $MnF_3$  при структурных переходах связан с их деформацией и нарушением кубической симметрии / в области  $T > T_1$  / кристаллического поля. Это искажение может быть описано как одноионное магнитокристаллическое поле анизотропии, зависящее от параметра порядка соответствующего структурного перехода. При этом в области  $T_2 < T < T_1$  появляется одноосная анизотропия вдоль тетрагональной оси, а при  $T < T_2$  дополнительно возникает несимметричное в базисной плоскости поле одноионной анизотропии.

Для качественного описания магнитных фазовых переходов в  $KMnF_3$  при  $T < T_2$  рассмотрим модель двухподрешеточного антиферромагнетика /  $\kappa = 1,2$  / с гамильтонианом /6/ и энергией спин-фононного взаимодействия в виде:

$$H_{SL} = \frac{1}{2} \sum_{\ell\kappa} b_\kappa Q_\ell^2 (S_{\ell\kappa}^z)^2 - \sum_{\ell\kappa} D_\kappa [(S_{\ell\kappa}^x)^2 - (S_{\ell\kappa}^y)^2], \quad /29/$$

где можно принять  $b_1 = b_2 = b$  и  $D_1 = -D_2 = cQ_\ell$ . Пользуясь далее ПМП, введем пробный гамильтониан в простом виде

$$H_{SO} = \sum_{\ell\kappa\alpha} M_\kappa^\alpha S_{\ell\kappa}^\alpha. \quad /30/$$

Для свободной энергии, аналогично /21/, получаем:

$$f(T) = f_0(T) + \frac{1}{2} \sum_{\kappa\alpha} J_{\kappa\kappa'} \langle S_\kappa^\alpha \rangle \langle S_{\kappa'}^\alpha \rangle + \sum_{\kappa\alpha} (h_\kappa^\alpha - M_\kappa^\alpha) \langle S_\kappa^\alpha \rangle - \sum_{\kappa} \tilde{K}_\kappa \langle (S_\kappa^z)^2 \rangle - \sum_{\kappa} \tilde{D}_\kappa [\langle (S_\kappa^x)^2 \rangle - \langle (S_\kappa^y)^2 \rangle], \quad /31/$$

где

$$f_0(T) = -T \sum_{\kappa} \ln \text{Tr} [\exp \{ -\frac{1}{T} (M_\kappa \vec{S}_\kappa) \}] \quad /32/$$

и эффективные константы анизотропии равны:

$$\tilde{K}_K = K_K - \frac{1}{2} b_K \langle Q \tilde{l}^2 \rangle = K_K - \frac{1}{2} b_K (\eta^2 + \langle u \tilde{l}^2 \rangle),$$

$$\tilde{D}_1 = -\tilde{D}_2 = \tilde{D}(T) = c\eta(T). \quad /33/$$

Намагниченность подрешеток определяется вектором  $\langle S_K^a \rangle = \partial f_0(T) / \partial M_K^a$ , где молекулярное поле вычисляется из уравнений:

$$M_K^a = h_K^a + \sum_K J_{KK'} \langle S_K^a \rangle -$$

$$- \frac{\partial}{\partial S_K^a} \{ K_K \langle (S_K^x)^2 \rangle + \tilde{D}_K [\langle (S_K^x)^2 \rangle - \langle (S_K^y)^2 \rangle] \}. \quad /34/$$

Полный анализ полученной системы уравнений /31/-/34/ с учетом соответствующих уравнений для параметра порядка  $\eta(T) = \langle Q \tilde{l} \rangle$  и флуктуаций  $\langle u \tilde{l}^2 \rangle$ , описывающих структурный переход, требует проведения численных расчетов. Для качественного анализа магнитной структуры для  $T < T_N$  рассмотрим выражение для свободной энергии /31/ в пределе  $T \ll T_N$ . В этом случае можно пренебречь вкладом магнитных возбуждений /спиновых волн/ и рассмотреть энергию основного состояния:

$$\epsilon_0 = \lim_{T \rightarrow 0} f(T) = \frac{1}{N} \langle H_S + H_{SL} \rangle |_{T=0}. \quad /35/$$

Вводя для удобства векторы:

$$\vec{m} = \frac{1}{2S} (\langle \vec{S}_1 \rangle + \langle \vec{S}_2 \rangle), \quad \vec{l} = \frac{1}{2S} (\langle \vec{S}_1 \rangle - \langle \vec{S}_2 \rangle), \quad /36/$$

запишем энергию в виде:

$$\epsilon_0 = (A - B)(\vec{m})^2 + (A + B)(\vec{l})^2 -$$

$$- \beta (\tilde{l}_z^2 + m_z^2) - 2\gamma (\tilde{l}_x m_x - \tilde{l}_y m_y), \quad /37/$$

где введены обозначения

$$A = (2S)^2 J_{12} > 0, \quad B = -(2S)^2 J_{11} > 0,$$

$$\beta = (2S)^2 2K = (2S)^2 2\{K - \frac{1}{2} b\eta^2\}, \quad /38/$$

$$\gamma = (2S)^2 2\tilde{D} = (2S)^2 2c\eta$$

и было принято  $K_1 = K_2 = K$ . Учитывая далее условия нормировки векторов / при  $T \ll T_N$  /:

$$\vec{l}^2 + \vec{m}^2 = 1, \quad \vec{l} \cdot \vec{m} = 0$$

и вводя угловые переменные, определяющие направление векторов  $\vec{l}$  и  $\vec{m}$ , нетрудно провести анализ возможных типов упорядочения, обеспечивающих минимальное значение энергии /37/ /см., напр. /8,10/. Вычисления показывают, что при  $\beta > 0$  реализуется состояние с вектором AF вдоль оси z и  $|\vec{m}| = 0$ ; энергия этого состояния

$$\epsilon_0^{(z)} = -(A + B + \beta). \quad /39/$$

В случае  $\beta < 0$  более выгодным оказывается AF состояние с вектором  $\vec{l}$  в плоскости xy:

$$\vec{l}_x = \vec{l}_y = \frac{1}{\sqrt{2}} |\vec{l}|, \quad l_z = 0.$$

Присутствие поля анизотропии в базисной плоскости приводит к слабой неколинеарности векторов  $\langle \vec{S}_1 \rangle$  и  $\langle \vec{S}_2 \rangle$  и слабому ферромагнетизму:

$$|\vec{m}| = \frac{\gamma^2}{A} = \frac{(2S \cdot 2\tilde{D})^2}{J_{12}}, \quad |\vec{l}| = \sqrt{1 - |\vec{m}|^2}. \quad /40/$$

Этому состоянию соответствует энергия

$$\epsilon^{(x,y)} = -(A + B + \frac{\gamma^2}{A}). \quad /41/$$

Сравнивая /41/ с /39/, приходим к выводу, что при  $\gamma^2/A > \beta$ , или при значении параметра порядка

$$\eta^2(T) > \eta_c^2(T_c) = \frac{K}{2c^2/J_{12} + b/2} \quad /42/$$

должен происходить фазовый переход /первого рода/ из состояния одноосного AF в состояние WF в базисной плоскости.

Таким образом, при определенном соотношении параметров модели, удовлетворяющих условию /42/, возможен переход AF-WF, индуцированный структурным фазовым переходом. Для количественного описания такого перехода в  $KMnF_3$  в рамках принятой модели необходимо вычислить свободную энергию /31/,

учитывая температурную зависимость векторов намагниченности  $\vec{l}(T)$  и  $\vec{m}(T)$  /36/ и параметра порядка  $\eta(T)$  при соответствующем описании фазового перехода при  $T_2$ .

## 5. ЗАКЛЮЧЕНИЕ

Предложенная в настоящей работе модель спин-фононной системы с гамильтонианом /1/-/4/, основанная на представлении локальной нормальной координаты  $Q_l$ , позволяет достаточно просто рассмотреть взаимосвязь магнитных и структурных переходов, обусловленных мягкой модой. Характер этой связи существенно зависит от вида спин-фононного взаимодействия /4/ и его величины. В частности, линейные по  $Q_l$  члены /см./7/// приводят к эффективному внешнему полю для структурного перехода, влияние которого, однако, существенно лишь при значительной величине констант связи /16/.

Обратное влияние структурного перехода /при  $T_0$  / на магнитный / при  $T_c$  / значительно, если  $T_0 > T_c$  и  $T_0 - T_c \ll T_c$ . Поскольку в области температур  $(T_0 - T) \ll T_0$  параметр порядка структурного фазового перехода  $\eta(T)$  существенно зависит от температуры, то возможно значительное изменение характеристик магнитной подсистемы, например, констант анизотропии, определяющих тип магнитной структуры. В частности, модель спин-фононного взаимодействия /29/ позволяет качественно объяснить переход  $AF \rightarrow WF$ , наблюдаемый в  $KMnF_3$ . При проведении количественных расчетов для сопоставления их с экспериментом необходимо также учесть взаимодействие с акустическими фононами, описывающими деформацию решетки. Этот вопрос предполагается рассмотреть в отдельной работе.

## ЛИТЕРАТУРА

1. Смоленский Г.А. и др. Сегнетоэлектрики и антисегнетоэлектрики, Наука, Л., 1971, раздел ХУП.
2. Gehring G.A., Gehring K.A., Rep.Prog.Phys., 1975, 38, p.1.
3. Hidaka M. Y.Phys.Soc. Japan, 1975, 39, p.103, 180; Hidaka M., et al. Solid State Communications, 1975, 16, p.1121; Yakubowski P. Acta Phys.Pol., 1978, A54, p.397.
4. Baryakhtar V.G., Chupis I.E., Int.J.Magnetism, 1974, p.337.
5. Иолин Е.М., Кашеев В.Н. ФТТ, 1979, 21, с. 851.
6. Thomas H. In: "Structural Phase Transitions and Soft Modes", eds. Samuelsen E.I., Anderson E., Feder J. Universitetsforlaget, Oslo, 1971, p.171.

7. Plakida N.M., Konwent H. In: "Magnetism in Metals and Metallic Compounds", eds. Lopuszanski Y.T., Pakalski A., Przystawa Y.A., Plenum Press, New York, 1976, p.543.
8. Stamenkovic S., et al. Phys.Rev., 1976, B14, p.5080.
9. Moriya T. In: "Magnetism", eds. Rado G.T., Suhl H. Acad.Press, N.Y., 1963, vol.1, pp.86-126.
10. Туров Е.А. Физические свойства магнитоупорядоченных кристаллов, Изд-во АН СССР, М., 1963.

Рукопись поступила в издательский отдел  
18 сентября 1979 года.